

жительное напряжение, пропорциональное коду). Введение компенсирующего двухразрядного ПКЧ позволило уменьшить погрешность от изменения амплитуды до того же порядка, что и погрешность от искажения формы треугольного колебания. Линейность шкалы ухудшается от введения компенсирующего ПКЧ, однако для данного конкретного применения это оправдано.

Быстродействие ПКЧ определяется переходными процессами в узлах устройства. Новое значение частоты на выходе появится через время

$$t = t_1 + t_2 + t_3 \approx 600 \text{ нс},$$

где  $t_1$  — время преобразования «код — ток» ( $\sim 100$  нс);  $t_2$  — время прохождения сигнала по каскадам умножителя частоты ( $\sim 100$  нс);  $t_3$  — время задержки в фильтре ( $\sim 400$  нс).

Разработанный ПКЧ был изготовлен в двух экземплярах и использовался в быстродействующем синтезаторе частот [4]. ПКЧ имеет следующие характеристики: диапазон частот 3,96—6,18 МГц; относительный уровень паразитных частот в полосе 4—6 МГц не превышает —28 дБ; нелинейность шкалы частот 1,25%; время установления частоты выходного сигнала не более 1 мкс; стабильность частоты в лабораторных условиях 0,3% в диапазоне  $+5\dots+40^\circ\text{C}$ .

#### ЛИТЕРАТУРА

1. О'Нейл. Микросхемы — генераторы сигналов.— «Электроника», 1972, № 24, с. 72—74.
2. Новицкий П. В., Кнорринг В. Г., Гутников В. С. Цифровые приборы с частотными датчиками. Л., «Энергия», 1970.
3. Клерк М., Лиманский С., Добек И. Умножитель частоты.— Пат. Франции, № 2092839, кл. Н03Ь19/00, заявл. 24 июня 1970, опубл. 22 июля 1972.
4. Вьюхин В. Н., Ковалев Е. А., Курочкин В. В., Юношев В. П. Быстродействующий двухканальный синтезатор частот.— «Автометрия», 1976, № 3, с. 28—35.

Поступила в редакцию 14 февраля 1977 г.

УДК 681.325.3

В. И. АЛЕКСАНДРИН, М. А. ЧУБАРОВ  
(Горький)

#### КОНТРОЛЬ ДИНАМИКИ АЦП МЕТОДОМ НАКОПЛЕНИЯ ОШИБКИ

В процессе проектирования, производства и эксплуатации аналого-цифровых преобразователей (АЦП) возникает задача контроля их характеристик в динамическом режиме.

Описанный в работе [1] метод, являясь достаточно универсальным, требует создания специальной аппаратуры, что в случае контроля АЦП с быстродействием выше 5—10 млн преобразований в секунду существенно снижает его технико-экономическую эффективность.

Обеспечить динамический режим работы АЦП и сравнительно простой способ регистрации результата можно и без использования специального быстродействующего запоминающего устройства, если учсть, что АЦП является звеном с запаздыванием. Для этой цели исследуемый АЦП и образцовый цифроаналоговый преобразователь

(ЦАП) соединяются в замкнутую систему с отрицательной обратной связью (рис. 1).

После окончания начального воздействия  $U_n$  за счет запаздывания сигнала в тракте АЦП—ЦАП система будет работать в режиме автоколебаний. Характер колебательного процесса, зависящий от параметров звеньев, в случае образцовых ЦАП и инвертора будет зависеть главным образом от вида динамической квантующей характеристики АЦП.

Рассмотрим связь между видом динамической квантующей характеристики АЦП и формой огибающей колебаний в системе; при этом будем учитывать, что основную роль в образовании динамической ошибки АЦП играет аналоговое запоминающее устройство (АЗУ), являющееся входным узлом АЦП (ошибка недозаряда емкости в процессе записи и разряда — в процессе хранения).

Введем безразмерные величины:

$$t = \bar{t}/(rC); \tau = \bar{\tau}/(rC); \theta = T/(rC); d = \bar{d}/(rC);$$

$$U = \bar{U}/w; m = r/R; K = \bar{K}/w,$$

где  $C$  — величина запоминающей емкости в АЗУ;  $r$  — сопротивление замкнутого ключа;  $R$  — эквивалентное сопротивление разряда запоминающей емкости в режиме хранения;  $\bar{d}$  — продолжительность замкнутого состояния ключа (время записи);  $T$  — период замыкания ключа;  $w$  — шаг квантования;  $\tau$  — время задержки от начала кодирования в АЦП до появления соответствующего сигнала на выходе ЦАП;  $\bar{U}$  — напряжение, действующее на входе АЗУ в течение времени записи;  $K$  — коэффициент передачи ЦАП и инвертора.

Уравнения системы в безразмерной форме имеют вид

$$\begin{cases} \dot{U} + U = -Kf[U(t - \tau)], & q\theta < t \leq q\theta + d; \\ \dot{U} + mU = 0, & q\theta + d < t \leq (q + 1)\theta. \end{cases}$$

Здесь  $f(U) = f(wU)$ ,  $U = \bar{U}/w$ ,  $f(\bar{U})$  — характеристики АЦП. Для идеального АЦП  $f(U) = A(U)$ , где  $A(U)$  — ближайшее к  $U$  целое число.

Будем полагать, что  $\text{sgn}[Uf(U)] = 1$ , и запишем формулы двукратного точечного отображения [2]:

$$\begin{aligned} U_{q+1} &= \Delta U_q - p f(U_q \alpha^{-1}); \\ U_q &= \Delta U_{q-1} + p f(U_{q-1} \alpha^{-1}), \end{aligned} \quad (1)$$

где  $U_q = U(q\theta + d)$ ;  $\Delta = e^{-d-m(\theta-d)}$ ;  $p = K(1 - e^{-d})$ ;  $\alpha = e^{-m(\theta-\tau)}$ . Возможное влияние неточности ЦАП и шумов входных цепей АЦП учтем введением малых коэффициентов  $\mu$  и  $\varepsilon$ , причем  $\mu = \frac{\partial f(U)}{\partial U}$  при  $U$ , лежащем внутри шага квантования (неточность ЦАП), и  $\frac{1}{\varepsilon} = \frac{\partial f(U)}{\partial U}$  при  $U$ , лежащем в окрестностях уровня квантования (шум).

Если неподвижная точка точечного преобразования (1) соответствует движениям, попадающим дважды за период на участки характеристики с наклоном  $\mu$ , то

$$\frac{\partial U_2}{\partial U_0} = (\Delta - p\mu\alpha^{-1})^2$$

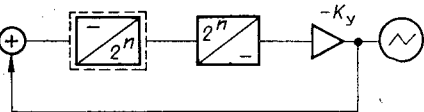


Рис. 1.

и условие устойчивости неподвижной точки имеет вид  $|\Delta - p\mu\alpha^{-1}| < 1$ , при попадании же движения один раз на участок с большим наклоном это условие принимает вид

$$\frac{\partial U_2}{\partial U_0} = (\Delta - p\mu\alpha^{-1})(\Delta - p\varepsilon^{-1}\alpha^{-1}) < 1.$$

Пренебрегая апертурной ошибкой в АЗУ и считая характеристику  $f(U)$  нечетной, можно привести точечное отображение (1) к виду

$$U_2 = Kf(Kf(U_0)). \quad (2)$$

Рассмотрим более подробно случай идеальной характеристики  $f(U) = A(U)$ . При  $K=1$  отображение (2) имеет  $2^n$  устойчивых неподвижных точек, которым соответствуют симметричные относительно нуля периодические движения. В случае  $K \geq 1$  у функции (2) имеют место

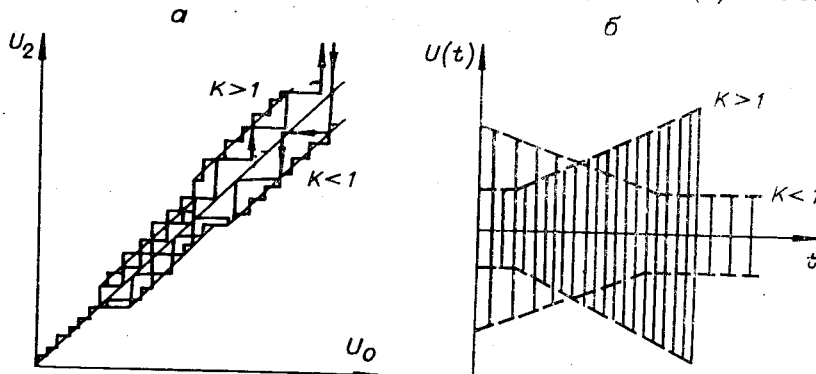


Рис. 2.

«перескоки» через уровни квантования в сторону увеличения амплитуды, а при  $K \leq 1$  — перескоки в сторону уменьшения. На рис. 2, а представлена диафрагма Ламеря [3] для этого отображения и соответствующие ей расчетные осциллограммы (рис. 2, б). Очевидно, что соответствующие автоколебания либо нарастают ( $K > 1$ ), либо убывают ( $K < 1$ ), причем на осциллограммах должны присутствовать характерные линейные участки нарастания (убывания) амплитуды колебаний, хорошо наблюдаемые в эксперименте. На рис. 3 приведена экспериментальная осциллограмма (масштаб: по оси  $x$  100 мкс/см, по оси  $y$  0,2 В/см). Нетрудно проверить, что для  $K = 1 + \beta$  первый перескок через один уровень происходит при  $U \approx 1/(2\beta)$ , а следующие — через  $i \approx 1/\beta$  уровней квантования.

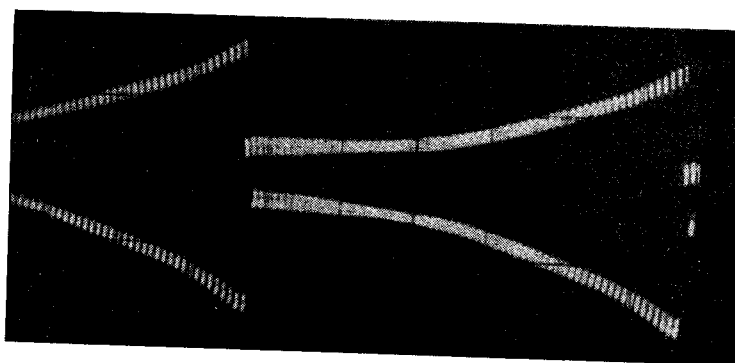


Рис. 3.

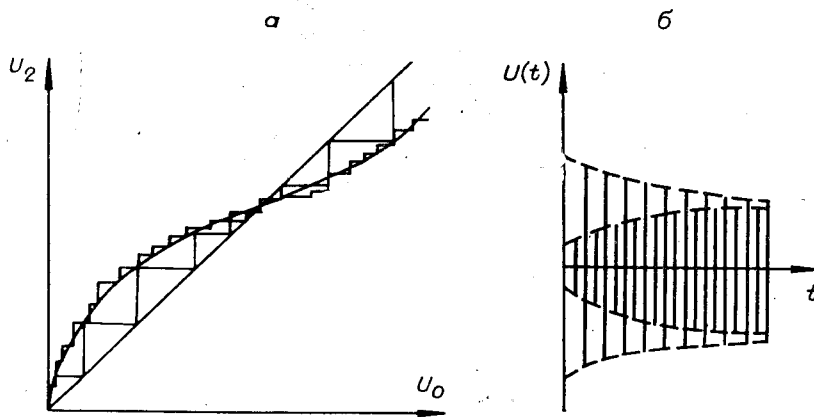


Рис. 4.

С помощью диаграмм Ламерая несложно построить осциллограммы автоколебаний и при нелинейных искажениях квантующей характеристики. Так, например, на рис. 4, а показана диаграмма Ламерая для случая плавной (интегральной) нелинейности, когда форма огибающей колебания зависит от начального воздействия. Рис. 4, б изображает соответствующую этому случаю расчетную осциллограмму.

На основании диаграмм Ламерая может быть составлен каталог типовых осциллограмм, классифицированных для ускорения поиска по определенным признакам. Сравнивая получаемую осциллограмму с наиболее близкой из каталога, можно в большинстве случаев определить характер погрешности АЦП и локализовать ее. Имея математическое описание характерных особенностей получаемой осциллограммы, поиск наиболее близкой теоретической осциллограммы можно автоматизировать.

Заметим, что качественный характер осциллограмм автоколебаний, получаемый в результате исследования отображения (2), сохраняется также при малых  $\Delta$  и  $1-\alpha$ . Следует лишь учитывать, что на горизонтальных участках функции  $U_2(U_0)$  нулевой наклон меняется на отрицательный, а вместо  $K'$  следует брать

$$K' = \rho\alpha - \Delta.$$

Описанный метод опробован экспериментально (см. рис. 3). Благодаря тому, что от цикла к циклу ошибка накапливается, для регистрации ее нет необходимости в быстродействующих ЗУ, достаточно обычного осциллографа.

#### ЛИТЕРАТУРА

1. Смолов В. Б., Чернявский Е. А., Полянская Т. И., Курдиков Б. А. Универсальные кодирующие и декодирующие преобразователи. Л., «Энергия», 1971.
2. Алексеев А. С. Применение метода точечных преобразований к исследованию динамики нелинейных импульсных систем.— «Изв. высш. учеб. завед. Радиофизика», 1966, т. 96, с. 1217.
3. Андronov A. A., Witt A. A., Хайкин С. Э. Теория колебаний. М., ГИФМЛ, 1959.

*Поступила в редакцию 20 июля 1976 г.;  
окончательный вариант — 1 марта 1977 г.*